

波のそよに及ぼす海浜の透水性の効果

京都大学防災研究所 正 土屋義人

" 正 河田恵昭

運輸省 正 矢下忠彦

1. 緒言 一般に海浜は透水性を持っており、これが波のそよや海浜変形に少なからず寄与するとと思われる。とくに、浜砂の swash movement の機構をかなり支配しそうである。しかし、そよに關する従来の大部分の研究は不透水性海浜を対象としたものである、Savage¹⁾による透水性海浜のそよの実験を挙げられるにすぎない。そこで本研究では、そよに及ぼす海浜の透水性の効果を見出すために、Savageの実験結果を再整理するとともに、波のそよ機構について若干の検討を加えた。

2. 周期波のそよに及ぼす粗度および透水性の効果 自然の海浜における波のそよ特性を考察する場合、浜砂による粗度と透水性の効果を考慮しなければならぬ。Savageは海浜勾配、粗度および透水性を変えた系統的な実験を実施したが、データーの整理法が必ずしも適切でなく、この結果によればそよ高に及ぼす粗度と透水性の効果の相対的な比較が困難である。そこで、ここではそよ高に及ぼす両効果はいずれも入射波高 H_0 よりも汀線からのそよ距離 $R/\sin\beta$ により大きく関係すると考え、粗度の大さき d/R とそよ高 R の比をパラメーターとして、無次元そよ高 R/H_0 と冲波の波形勾配 H_0/L_0 との関係でこの実験結果を再整理した。図-1(a)は海浜勾配 $\tan\beta = 1/10$ の場合の不透水性粗面の場合であり、図-1(b)は同じ勾配で透水性の場合を示す。波形勾配によつて碎波形態が変化し、そよ特性も変るものと考えられるが、この影響は明確ではない。

これから、滑面 ($d/R = 0$) の場合と比べて無次元粗度 d/R が大きくなると、同一の波形勾配に対する無次元そよ高が減少し、透水性海浜の場合にはさらに小さくなることがよくわかる。したがつて、波のそよ時には、そよ速度なども透水性のために当然変化すると考えられ、この効果の定量的な把握が海浜のそよ機構を解明するうえで必須であるといえよう。

3. 海浜における波のそよ機構 周期波のそよ機構を理論的に取り扱うこととは困難であるが、透水性の効果を考慮した孤立波のそよ機構を検討することとした。いま、緩勾配の海浜を考え、海浜に沿つて x 軸、それと直角上方に y 軸をとると、1次元解析に基づく

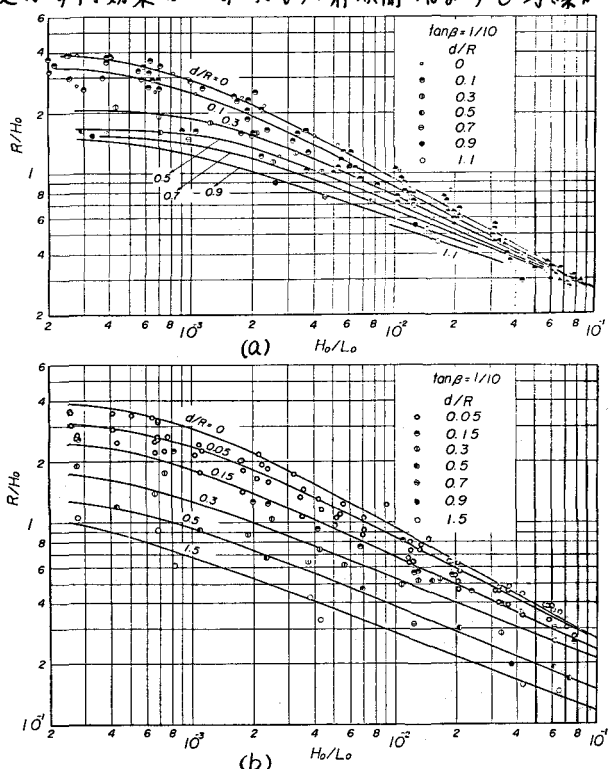


図-1 そよ高に及ぼす粗度と透水性の効果

運動方程式および連続式より、 γ の特性曲線の方程式が得られる。すなはち、 $\frac{dx}{dt} = U \pm C$ —(1) の特性曲線上で、 $\frac{d}{dt}(U \pm C) = -[I + (\frac{1}{2})(U/C)^2 + (\frac{1}{C})(U/C \pm 1)\{\bar{k}(1+C^2/\bar{k}) + q_s\}]$ —(2) $X = x/h_0$, $T = \sqrt{gh_0 \cos \beta / h_0 t}$, $I = \sin \beta$, $C = \sqrt{(h+n)/h_0}$, $\bar{k} = k/\sqrt{gh_0 \cos \beta}$, $\bar{l} = l/h_0$ および $\bar{q}_s = q_s / \sqrt{gh_0 \cos \beta}$ —(3) ここで、 h_0 : 一様水深、 γ : 水面変動、 k : 抵抗係数、 l : 透水係数、 l : 浜砂の堆積厚および q_s : ポンプによる単位面積当たりの排水量である。式(2)

における右辺第3項は運動方程式と連続式における海浜の透水性とポンプ排水による影響を考慮して結果生ずるものである。式(1)および(2)を数値計算する場合、海浜勾配が十分小さく、 $\sin \beta \approx \beta$ および $\cos \beta \approx 1$ とおけるものとし、初期条件は、波形として孤立波をえた。図-2 はその結果の一例である。(a)は滑面、(b)は粗面および(c)はさうに透水性の効果を見出さため、 $q_s = 0$ とした場合の計算結果であり、いずれの場合も段波が発生した。ただし、式(1)および(2)を導くに際して、定常浸透の関係を使用しておらず、海浜における浸透特性と若干相違すると考えられるが、ここでは、とりあえず、この効果を見出しことを目的とした。これらの図から、まず上高が滑面、粗面および透水性が加わる順に小さくなつており、また同一の無次元時間に対するこの順序で波速が小さくなつてゐることがわかる。また、抵抗係数の表示法には問題はあるが、海浜の透水性の効果は粗度と少くとも同程度以上に評価されるようである。そこで、そ上機構の解明にあたってはこの効果は無視すべきないといえる。図-3 は透水性海浜における孤立波のそ上に関する実験結果の一例である。(a)は up-rush、(b)は down-rush における波形の時間的变化を示す。この図から、汀線近傍では段波状になつて上る様子がわかる。図-2(c)には汀線直前の実験波形と計算波形との比較を示すが、周知のように、特性曲線法によるそ上機構の解析では、汀線が特異点にはまらない、この位置における仮定(今回の計算では汀線が波速 $C: \text{const.}$)の妥当性や透水性の表示法若干問題はあるが、汀線直前の両者はかなりよいようである。

4. 結語 以上、波のそ上に及ぼす粗度および透水性の効果を Savage の実験結果を再整理して評価し、また孤立波のそ上機構に関する若干の計算結果を示したが、海浜の透水性の効果がかなり大きいことがわかったので、今後各種の透水性をもつ海浜でのそ上機構を定量的に評価したい。

参考文献 1) Savage, R.P.: Technical Memorandum No. 109, B.E.B., 1959.

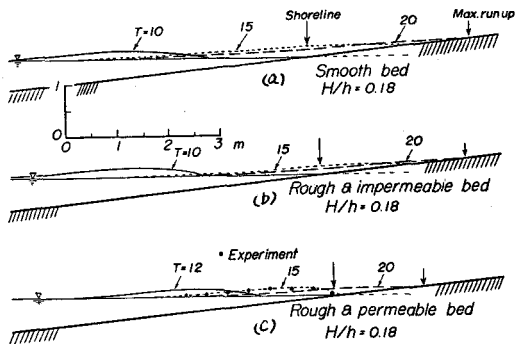


図-2 海浜条件によるそ上特性の変化

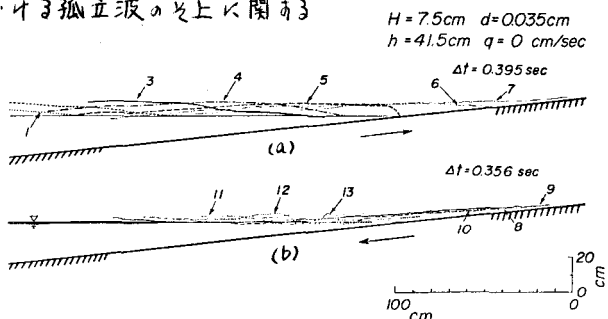


図-3 孤立波のそ上特性